



CONAHCYT

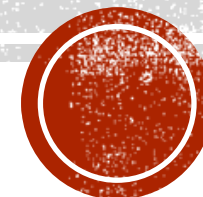
CONSEJO NACIONAL DE HUMANIDADES
CIENCIAS Y TECNOLOGÍAS



CIMAT
UNIDAD MÉRIDA

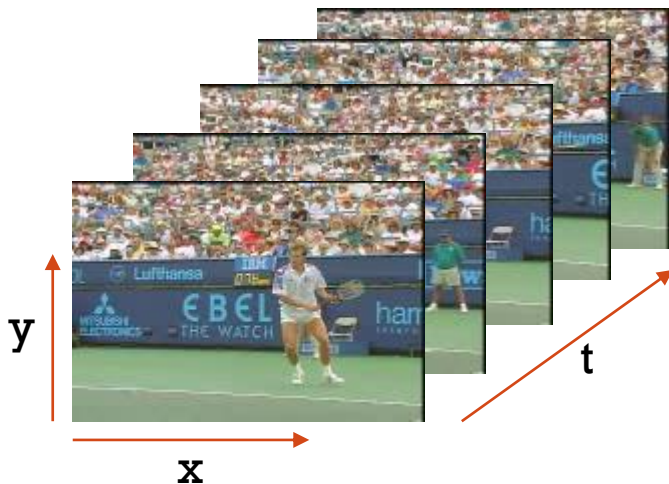
PROYECTOS USANDO CÓMPUTO PARALELO

Dr. Francisco Javier Hernández López
CONAHCYT – CIMAT-Mérida
Tel.: +52 (999) 6885327, Ext.: 1306
fcoj23@cimat.mx, www.cimat.mx/~fcoj23



Ago-Dic 2024

PROCESAMIENTO DE VIDEO



Desarrollar
Algoritmos



- 0 o 1
- Imágenes Binarias
- Segmentación
- Posiciones de objetos a seguir
- Panoramas
- Detección y Rec. de Objetos, etc.

DETECCIÓN DE CAMBIOS

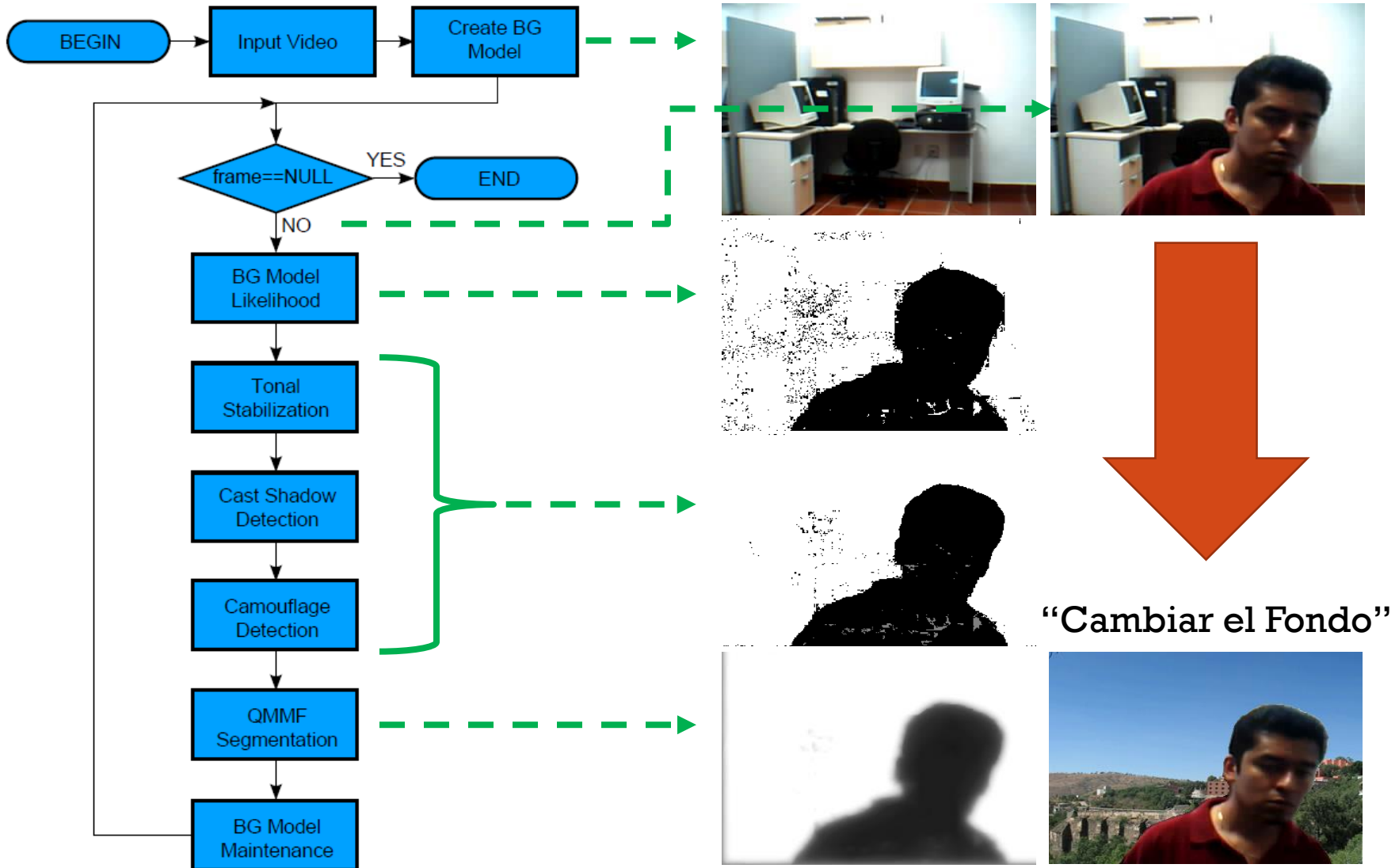


- El camino más simple para detectar cambios es:
 - Asumir que tenemos una imagen del fondo en la cual no existen objetos moviéndose
- Background (BG) → Píxeles que no cambian
- Foreground (FG) → Píxeles que han cambiado
- Pasos principales para la detección de cambios:
 - a) Modelo del BG
 - b) Inicialización del BG
 - c) Actualización del modelo del BG
 - d) Detección del FG

<http://changedetection.net/>

Bouwmans, T., Porikli, F., Höferlin, B., & Vacavant, A. *Background modeling and foreground detection for video surveillance*. 2015

DET. DE CAMBIOS A PARTIR DE SEGM. PROB. (CDPS)



Hernandez-Lopez, F.J. and Rivera, M., "Change Detection by Probabilistic Segmentation from Monocular View," Machine Vision and Applications, pages 1-21, 2013.

COMPARACIÓN EN TIEMPO (MS) DE LA IMPLEMENTACIÓN

- Video de 640 × 480 pixeles

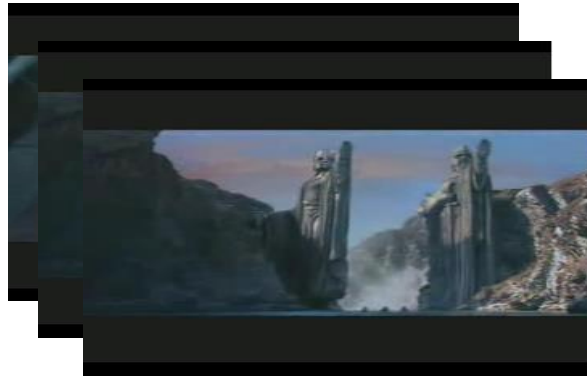
Procedimiento	Tiempo (ms)		Ganancia CPU/(CPU&GPU)
	CPU	CPU&GPU	
Cargar 5 modelos	8.68	8.24	1.05
Leer frame	1.16	1.99	0.58
Calcular verosimilitud	13.14	0.36	36.5
Estabilización tonal	11.2	10.22	1.09
Detección de sombras	42.99	1.03	41.73
Detección de camuflaje	5.98	0.99	6.04
Segmentación QMMF	108.65	4.58	23.72
Actualizar modelos	26.52	5.01	5.29
Desplegar resultados	8.14	8.87	0.91
frames por segundo (fps)	4.59	30.26	

AVSCREEN

- Herramienta de edición de video que modifica una región de un video por otro video o imagen en tiempo-real



I/V original



I/V nuevo



I/V editado

AVSCREEN USANDO CÁMARAS ESTÁTICAS



Video Original

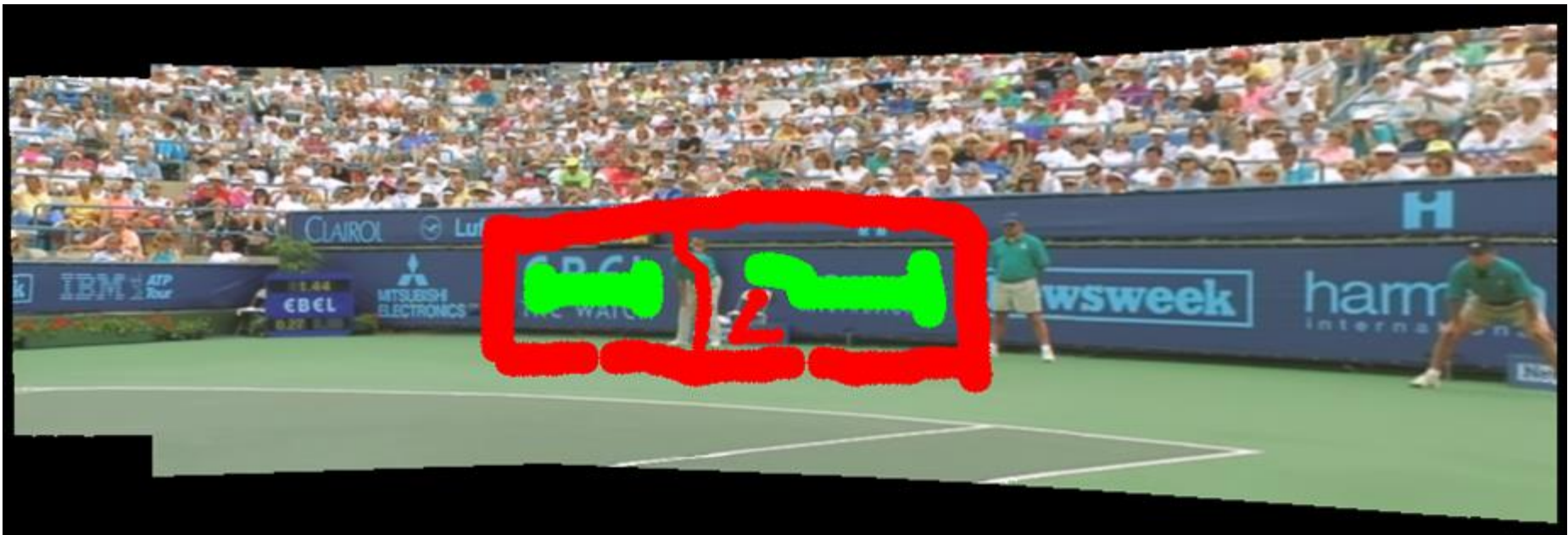
Video Modificado



AVSCREEN USANDO CÁMARAS INESTABLES



AVSCREEN USANDO EL PANORAMA (INTERACCIÓN CON EL USUARIO)



AVSCREEN USANDO EL PANORAMA (EDICIÓN DE VIDEO)



Video original



Video editado

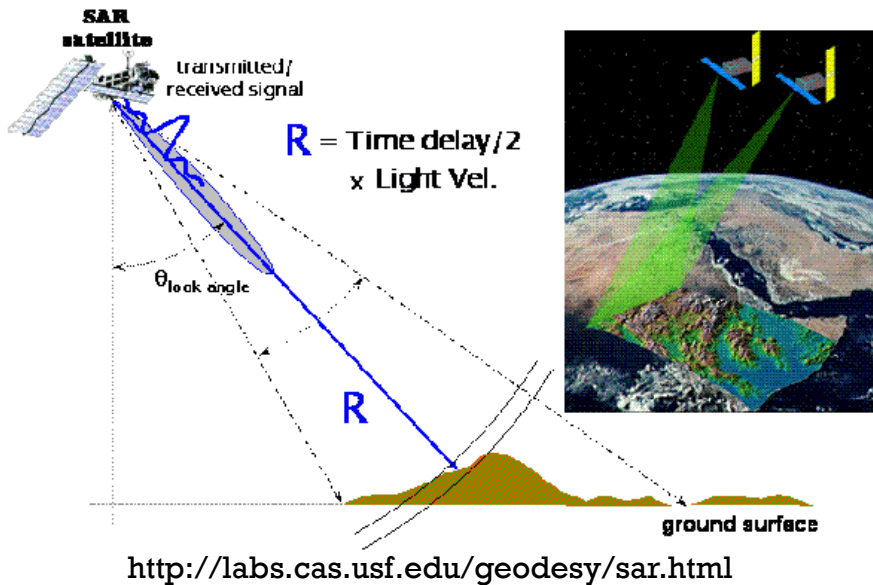
AVSCREEN USANDO EL PANORAMA



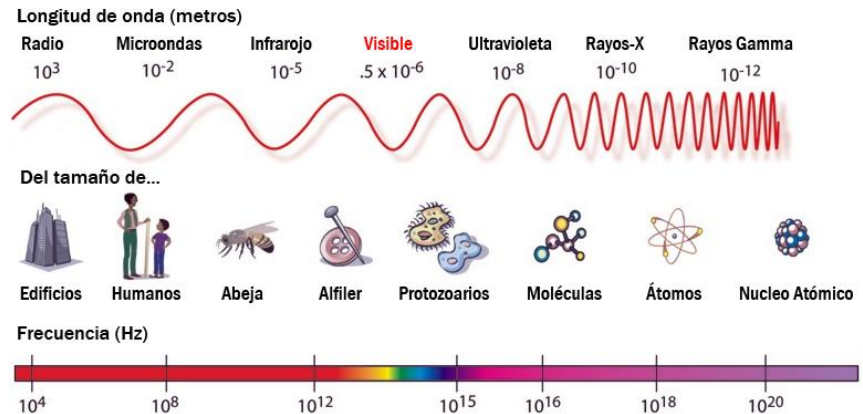
AVSCREEN USANDO EL PANORAMA



IMÁGENES SATELITALES



El radar de apertura sintética (SAR), es un radar activo que emite y recibe señales de microondas (1cm-100cm, 1GHz-300GHz).



En una imagen obtenida por radar un pixel contiene información de la amplitud y fase de un número complejo. A este formato se le conoce como SLC (Single-look-complex).

La fase de la señal $\phi(\vec{x})$ en cada pixel \vec{x} , queda envuelta en un intervalo de $(-\pi, \pi]$ o $(0, 2\pi]$ por el operador $\text{atan2}()$.

DESENVOLVIMIENTO DE FASE

$$\phi_w(\vec{x}) = W(\phi_u(\vec{x})) = \phi_u(\vec{x}) + 2\pi\kappa(\vec{x})$$

$\phi_u(\vec{x}) \rightarrow$ la fase desnuelta

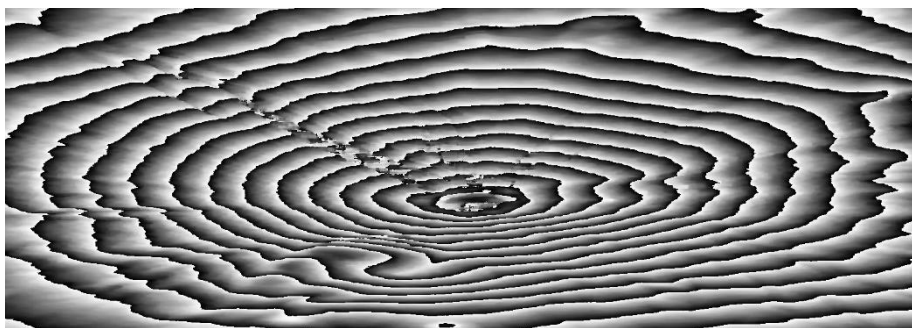
$\phi_w(\vec{x}) \rightarrow$ la fase envuelta

$\kappa(\vec{x}) \rightarrow$ valor entero en cada pixel \vec{x}

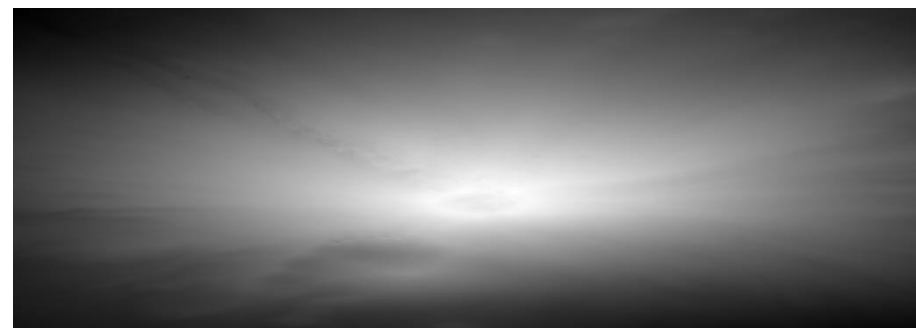
$W(\phi_u(\vec{x})) \in (-\pi, \pi] \rightarrow$ Operador de envoltamiento

$$W(\phi_u(\vec{x})) = \text{atan2} \left(\frac{\text{sen}(\phi_u(\vec{x}))}{\text{cos}(\phi_u(\vec{x}))} \right)$$

A partir de una fase envuelta ϕ_w , queremos recuperar la fase desnuelta ϕ_u



ϕ_w



ϕ_u

IMPLEMENTACIÓN EN PARALELO DEL ARM



Multicore CPU

Servidor K20

Intel Xeon CPU E5-2620 v2 2.10 GHz
Ubuntu 14.04 (64 bits) 256 GB RAM
24 cores con hyperthreading

Servidor K40

Intel Xeon CPU E5-2690 v2 3.00 GHz
Ubuntu 14.04 (64 bits) 256 GB RAM
20 cores físicos



XPC

XPC 3120A

1.1 GHz
57 cores
6GB RAM



GPU

GPU Tesla K20

0.71 GHz
13 SM, 2496 cores
5GB RAM

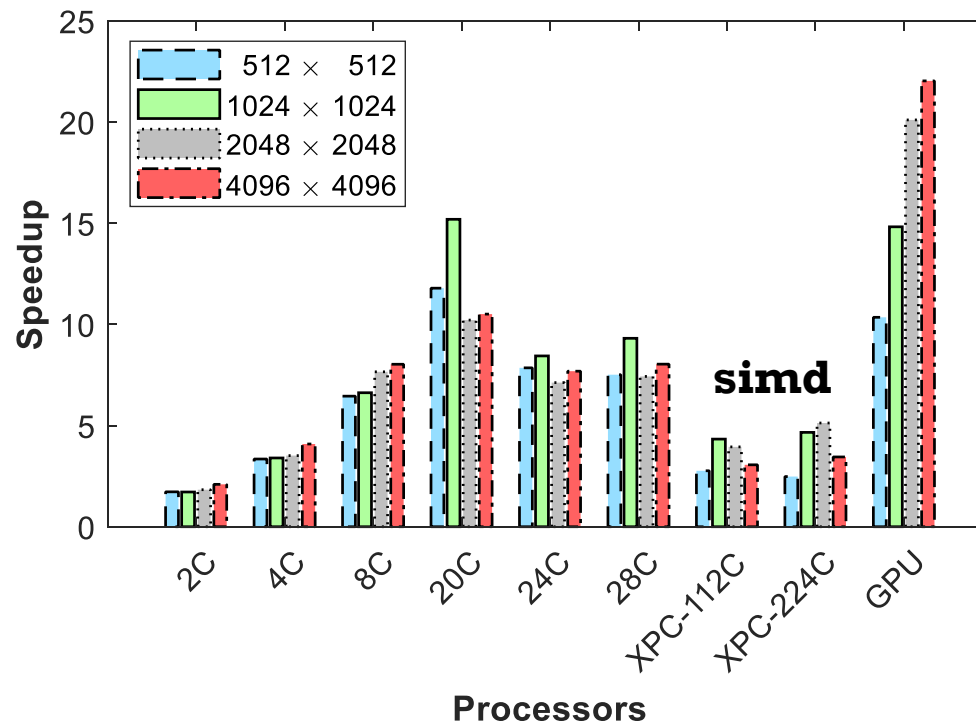
GPU Tesla K40

0.75 GHz
15 SM, 2880 cores
12GB RAM

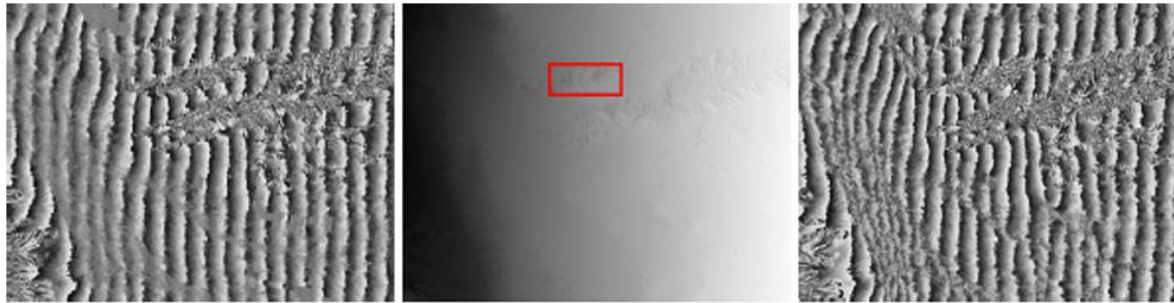
OP__2, SERVIDOR__K40

Tiempo de procesamiento en segundos

Size of image	Serial 1C	Multicore CPU						XPC		GPU
		2C	4C	8C	20C	24C	28C	112C	224C	
512 ²	26.3	15.3	7.9	4.1	2.2	3.4	3.5	9.5	10.6	2.5
1024 ²	107.2	62.4	31.5	16.2	7.1	12.7	11.5	24.8	23.0	7.2
2048 ²	515.7	281.9	146.7	67.4	50.5	72.4	69.4	130.7	100.6	25.7
4096 ²	2193.8	1047.1	536.6	273.2	208.8	285.4	273.0	716.9	636.2	99.6



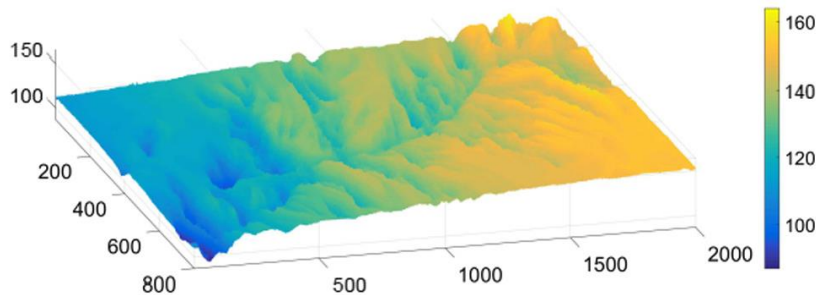
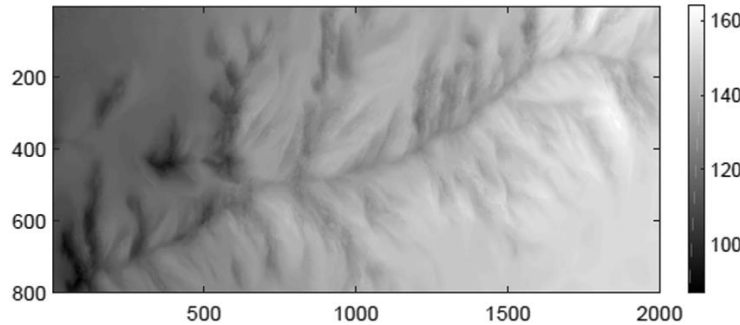
DESENVOLVIENDO INTERFEROGRAMAS SAR



ϕ_w

ϕ_u

$W(\phi_u)$



8000 × 10500 pixeles

Parámetros:

$\lambda = 10$

$\mu = 100$

$N = 7$ niveles

$K = 1000$ iter.

Tiempo de Proc.:

Serial = 6216.8s

CPU_{20C} = 739.7s ~ 8x

GPU = 397.4s ~ 16x

XPC = Memoria

Insuficiente

Fase envuelta tomada de un área de Phoenix, Arizona a partir de 2 imágenes SLC RADARSAT-2 usando SNAP. Las imágenes fueron adquiridas el 04 y 28 de Mayo del 2008.

PARALELIZACIÓN MEDIANTE GPU DE LA ECUACIÓN DE POISSON 3D EN GEOMETRÍAS ARBITRARIAS

Algorithm 1. CUDA DTM version for the Jacobi parallel implementation

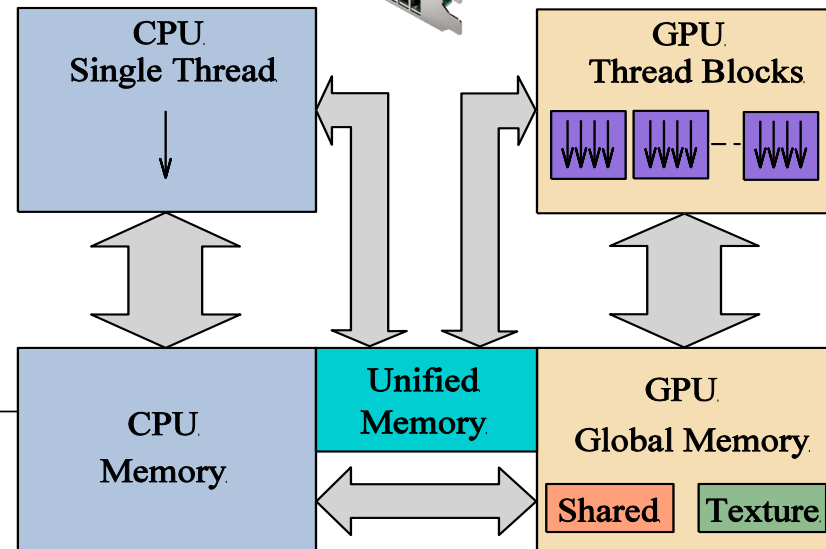
```

use cudafor
real *8, dimension (:), allocatable :: h_phi real *
8, dimension (:), device, target, allocatable :: d_phi real *8,
dimension (:), device, target, allocatable :: d_phiNew real *8, te
xture, pointer :: t_phi (:)
real *8, dimension (:,:), managed, allocatable :: m_error

d_phi = h_phi ! Copy memory from CPU to GPU t p
hi => d_phi ! Texture points to the device

500 continue
error = 0.0 d0
call k Jacobi Method <<<g rid , t Block , shared_mem >>>()
call k Boundary Condition <<<g rid , t Block >>>()
call k Interpolation <<<gridv , tBlock >>>() d p
hi = d_phiNew
error = sum(m_error)
if (error.gt.1e-6) goto 500

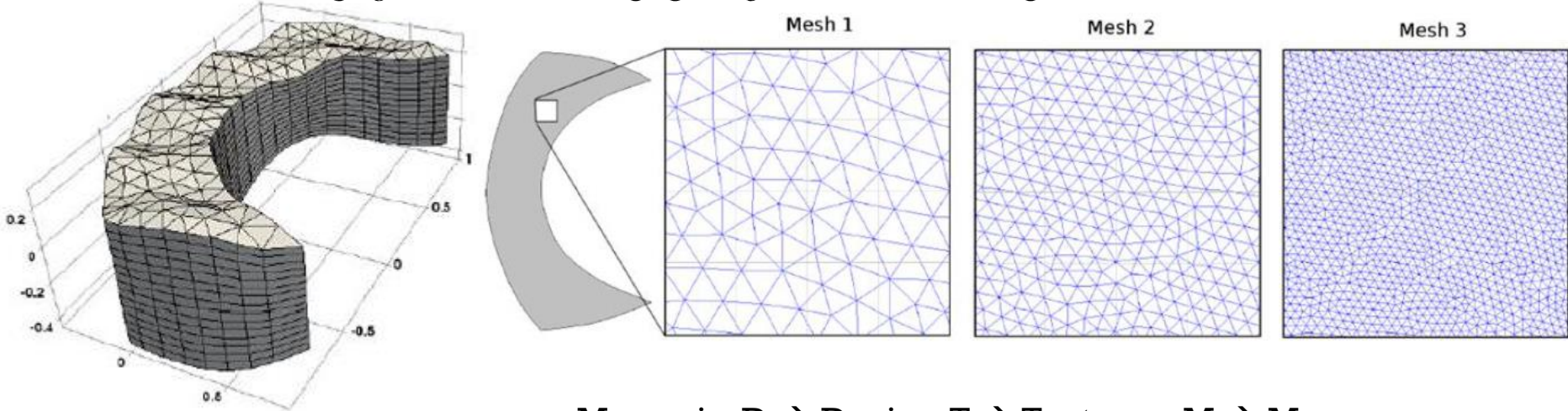
h_phi = d_phi ! Copy memory from GPU to CPU
    
```



Para no migrar código a C/C++, se utilizó el compilador PGI CUDA Fortran

Uh Zapata, M., & Hernández-López, F. (2018). A GPU Parallel Finite Volume Method for a 3D Poisson Equation on Arbitrary Geometries. International Journal of Combinatorial Optimization Problems and Informatics, 9(1), pp. 3-11. ISSN: 20071558.

TIEMPOS DE PROCESAMIENTO



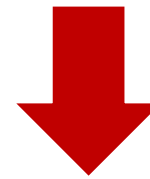
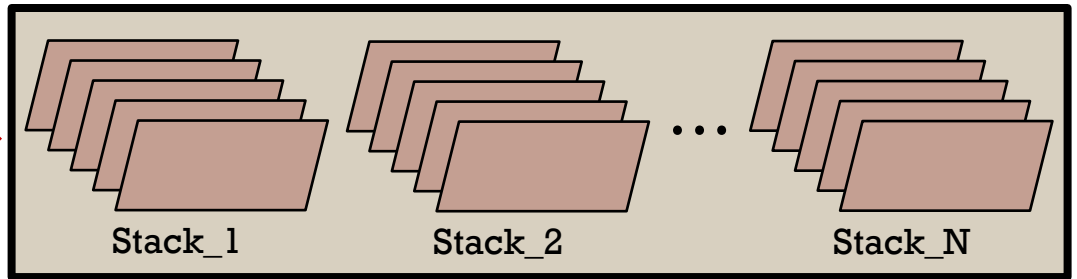
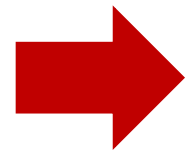
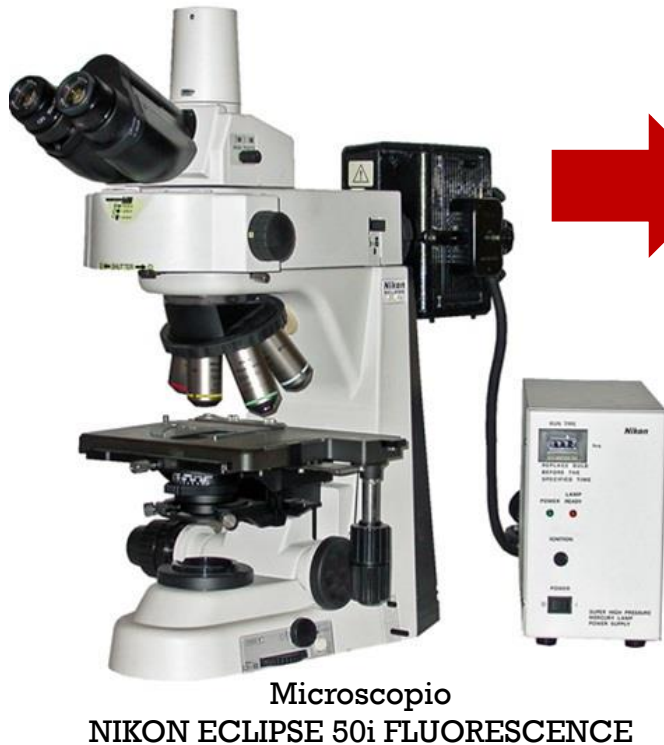
Memoria: D → Device, T → Texture y M → Manage

Mesh	Nz	Sequential Time (s)	CUDA D		CUDA DT		CUDA DTM	
			Time (s)	Speedup	Time (s)	Speedup	Time (s)	Speedup
1	32	4.52	0.60	7.53 ×	0.54	8.37 ×	0.53	8.53 ×
1	64	27.33	3.56	7.67 ×	3.21	8.51 ×	3.19	8.57 ×
1	128	193.37	35.42	5.45 ×	30.75	6.29 ×	30.14	6.42 ×
2	32	743.19	41.83	17.76 ×	26.50	28.04 ×	25.03	29.69 ×
2	64	1,738.82	91.78	18.94 ×	55.30	31.44 ×	53.82	32.31 ×
2	128	5,018.89	277.83	18.06 ×	163.56	30.69 ×	161.47	31.08 ×
3	32	11,734.84	626.34	18.74 ×	384.01	30.56 ×	364.93	32.16 ×
3	64	25,511.24	1276.06	20.00 ×	756.57	33.72 ×	737.09	34.61 ×
3	128	60,135.84	2934.38	20.49 ×	1708.39	35.20 ×	1681.11	35.77 ×

16.70 hrs.

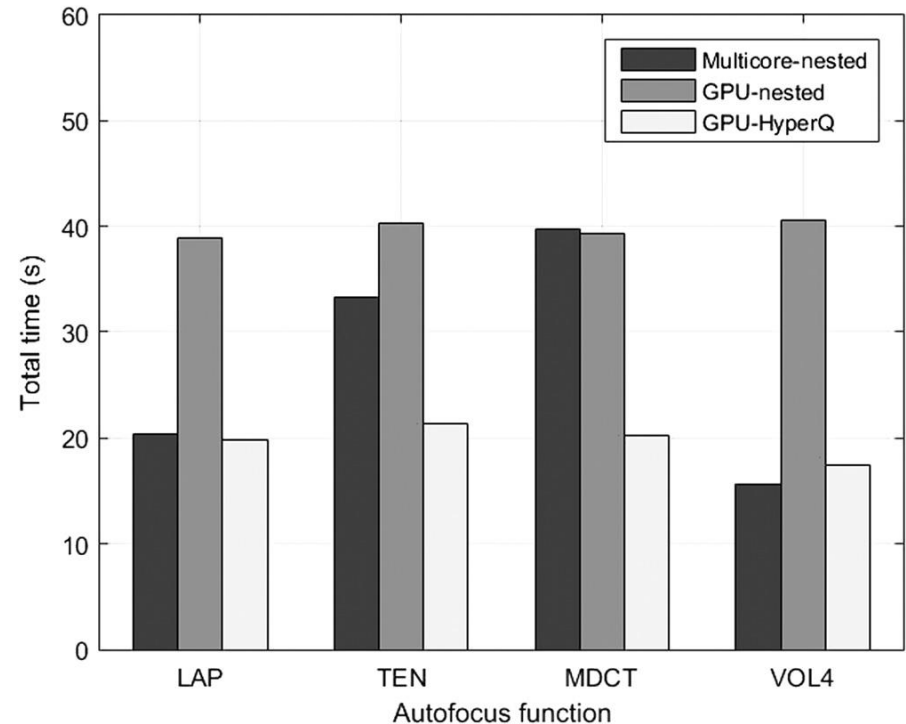
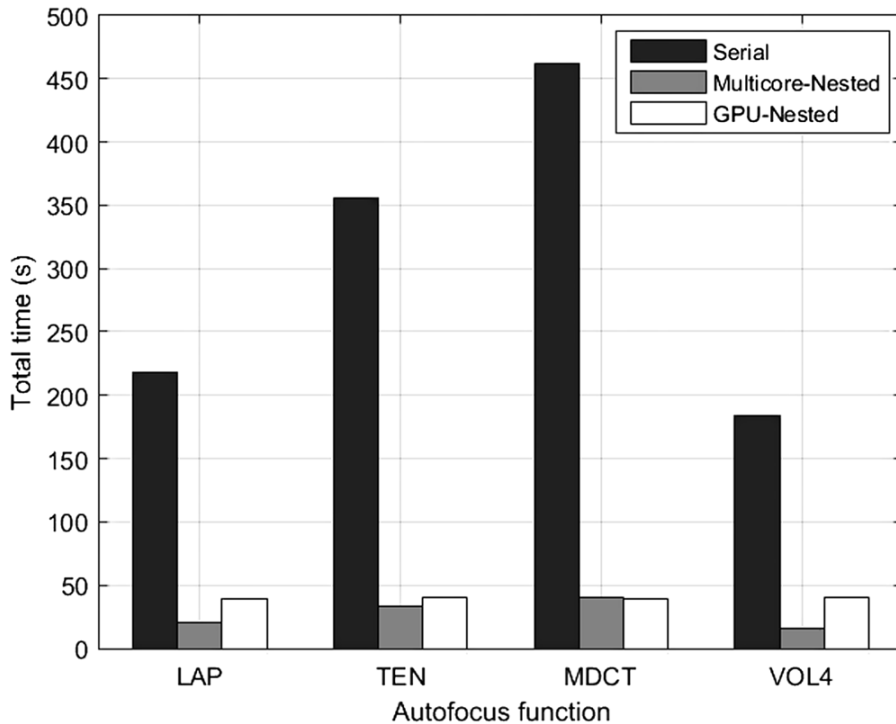
0.47 hrs.

IMPLEMENTACIONES PARALELAS PARA ACELERAR EL PROCESO DE AUTOENFOQUE EN IMÁGENES DE MICROSCOPIA



Estimar la imagen mejor enfocada de cada conjunto de imágenes en paralelo, usando los métodos: LAP, TEN, MDCT y VOL4

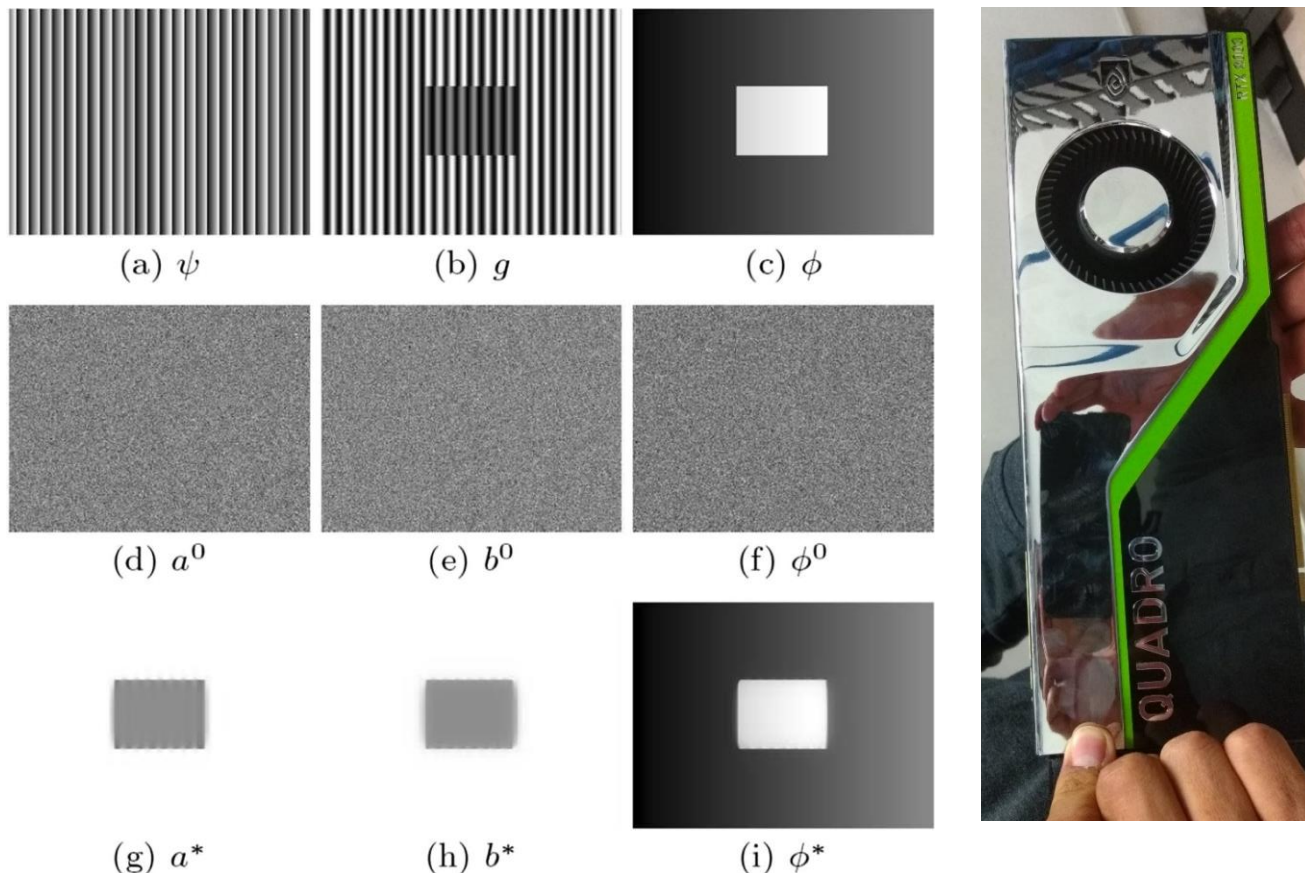
TIEMPO DE PROCESAMIENTO



Tiempo total, procesando una base de datos de imágenes de Tuberculosis Micobacteriana, que consiste en **300** stacks de **20** imágenes (1200x1600 pixeles) en cada stack.

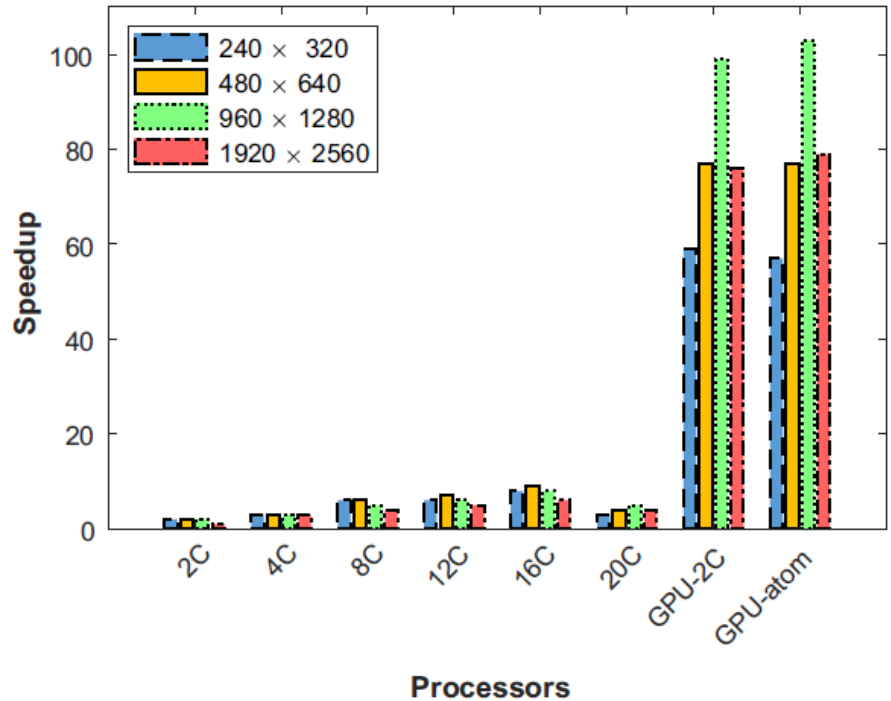
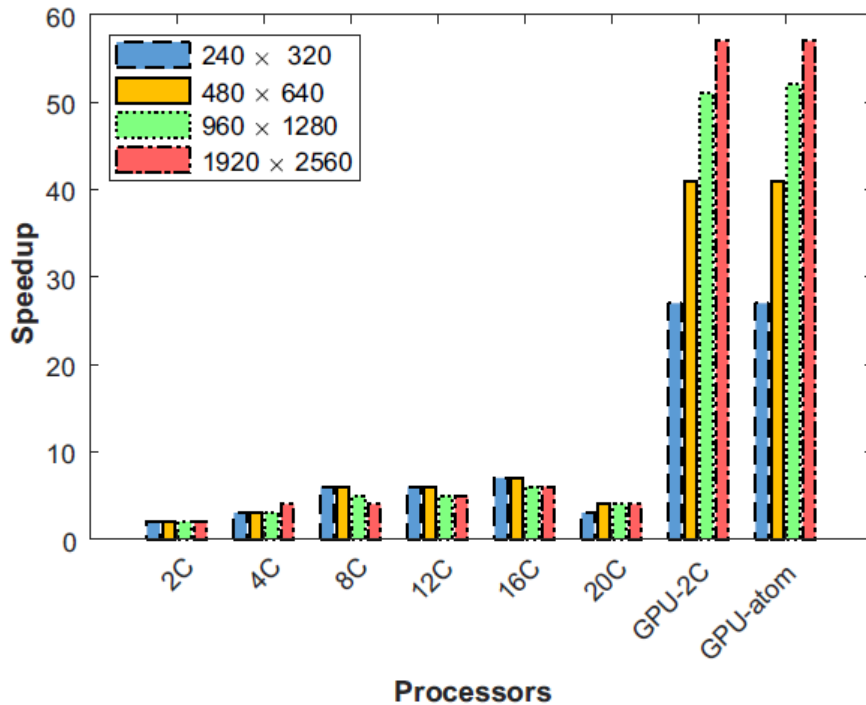
IMPLEMENTACIÓN EN PARALELO DE UN ALGORITMO DE DEMODULACIÓN DE FASE

$$I(x, y) = a(x, y) + b(x, y) \cos(\psi(x, y) + \phi(x, y))$$



Hernandez-Lopez, F. J., Legarda-Saenz, R., & Brito-Loeza, C. (2021). Parallel algorithm for fringe pattern demodulation. *Journal of Real-Time Image Processing*, 1-10. <https://doi.org/10.1007/s11554-021-01129-4>.

EVALUACIÓN DE VELOCIDAD DEL ALGORITMO PARALELO



Usando precisión de 64-bits (double)

Usando precisión de 32-bits (float)

El algoritmo paralelo alcanza un speedup de **9x** usando multi-core y **103x** usando la GPU, con respecto al algoritmo secuencial.

PARALELIZACIÓN DE UN ALGORITMO PARA EL FILTRADO DE FASES ENVUELTAS

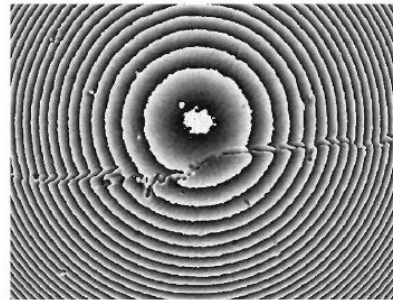
$$(\bar{z}_{re}, \bar{z}_{im}) = \arg \min_{x \in \Omega} F(x)$$

$$F = \frac{\lambda_1}{2} \int_{\Omega} (\bar{z}_{re} - \hat{z}_{re})^2 d\Omega$$

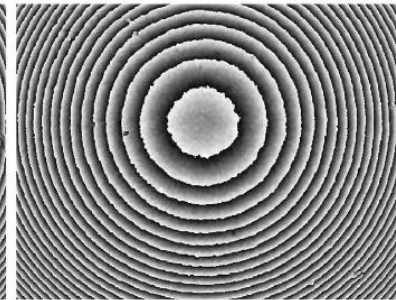
$$+ \frac{\lambda_2}{2} \int_{\Omega} (\bar{z}_{im} - \hat{z}_{im})^2 d\Omega$$

$$+ \frac{\lambda_3}{2} \int_{\Omega} ((\bar{z}_{re})^2 + (\bar{z}_{im})^2 - 1)^2 d\Omega$$

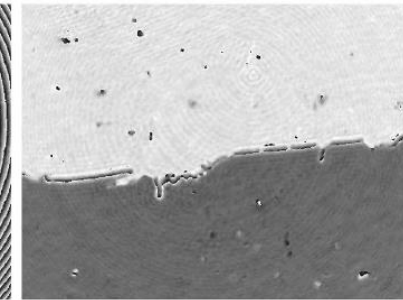
$$+ \int_{\Omega} |\nabla \bar{z}_{re}| d\Omega + \int_{\Omega} |\nabla \bar{z}_{im}| d\Omega$$



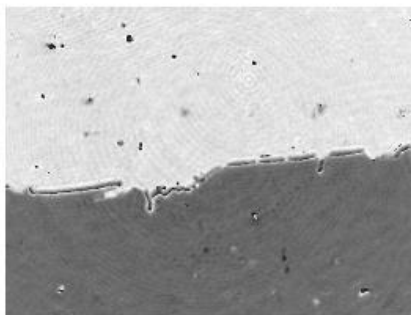
Fase con transport.



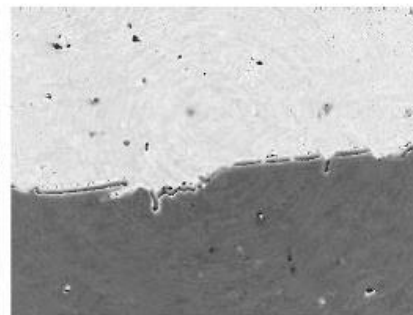
Transportadora



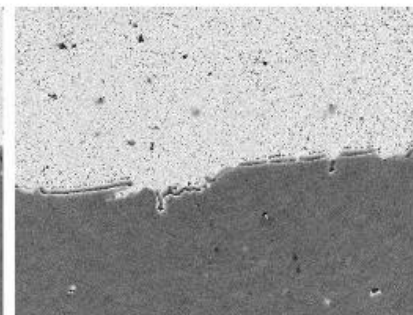
Diferencias



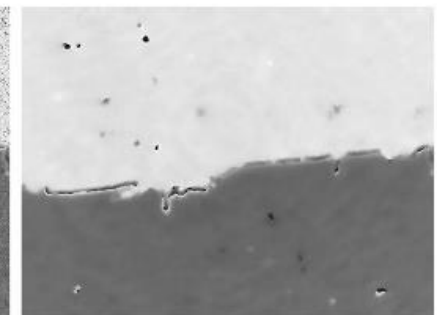
Ströbel



BM3D



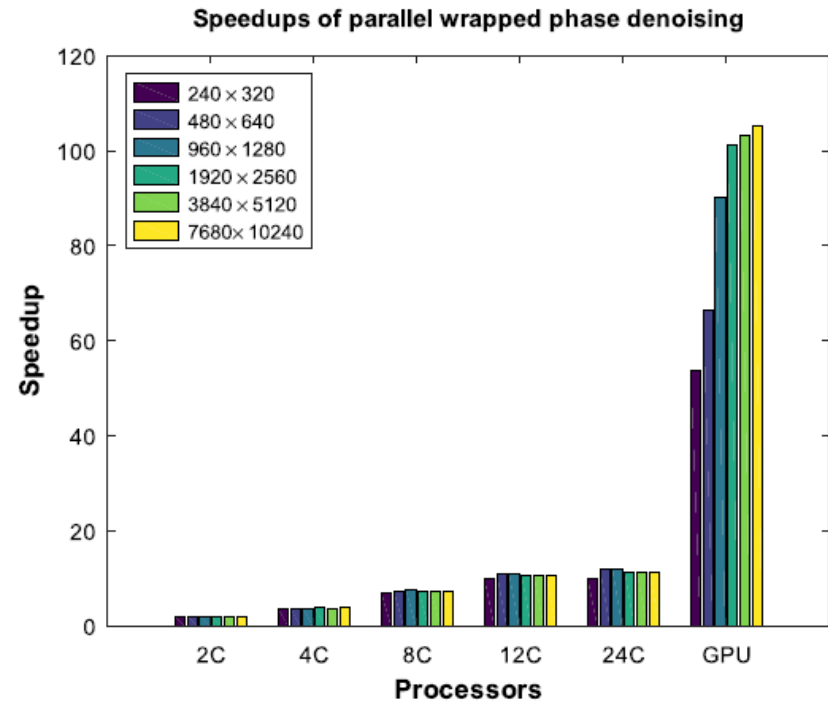
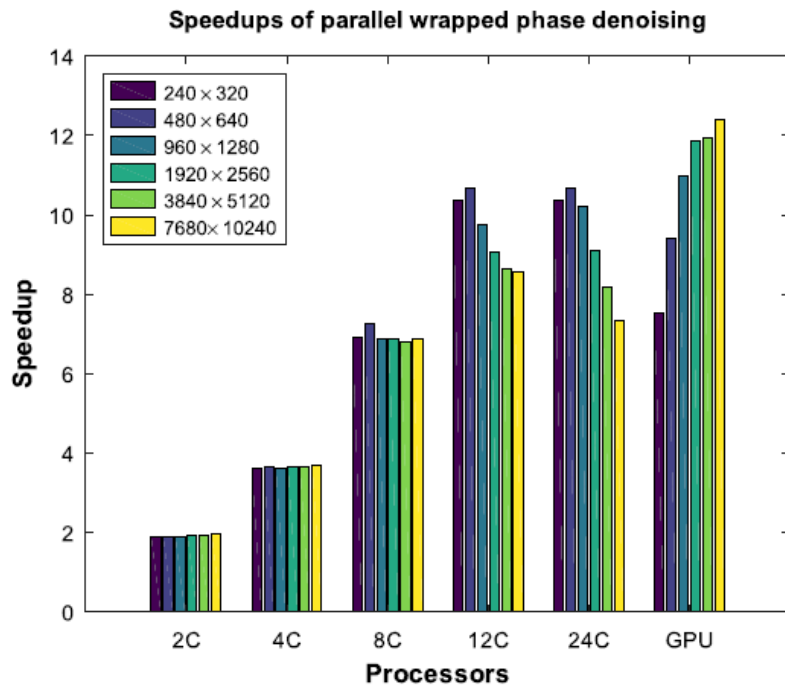
Non-Local Means



May-Cen et. al

May-Cen, I. D. J., Hernandez-Lopez, F. J., Legarda-Sáenz, R., & Brito-Loeza, C. (2023). Parallel algorithm for wrapped phase denoising. *Journal of Real-Time Image Processing*, 20(4), 68.

SPEEDUPS – FP64 Y FP32

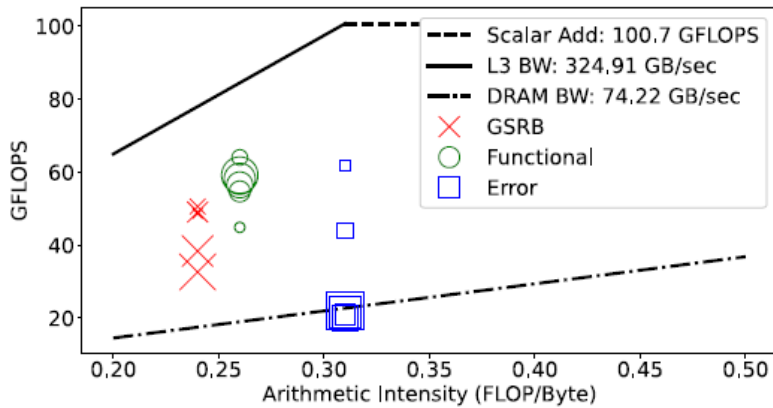


Usando precisión de 64-bits (double)

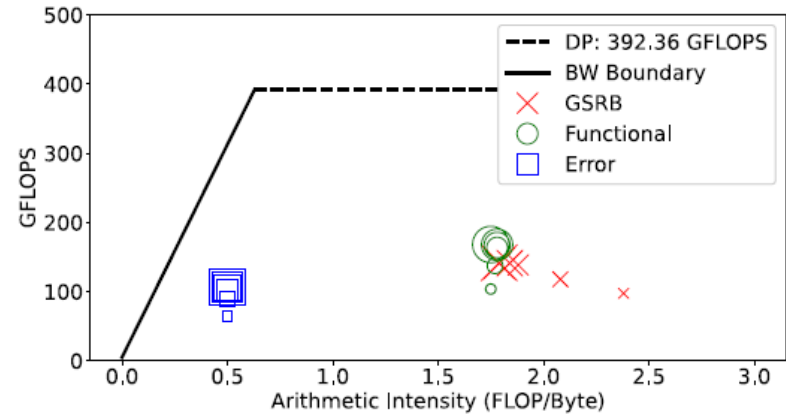
Usando precisión de 32-bits (float)

El algoritmo paralelo alcanza un speedup de **12x** usando multi-core y **110x** usando la GPU con FP32, con respecto al algoritmo secuencial.

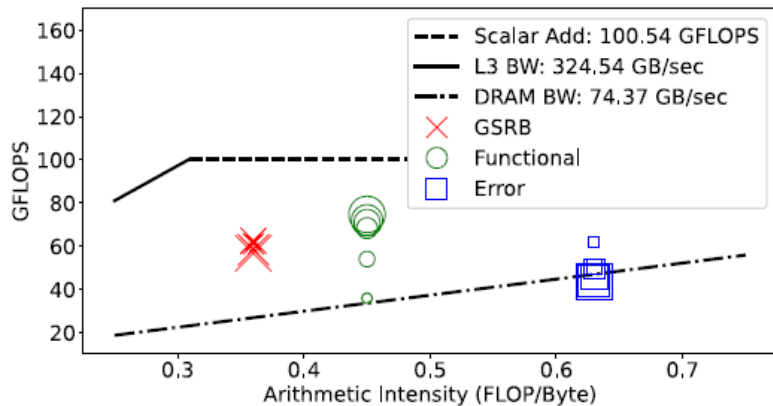
COMPARANDO GFLOPS



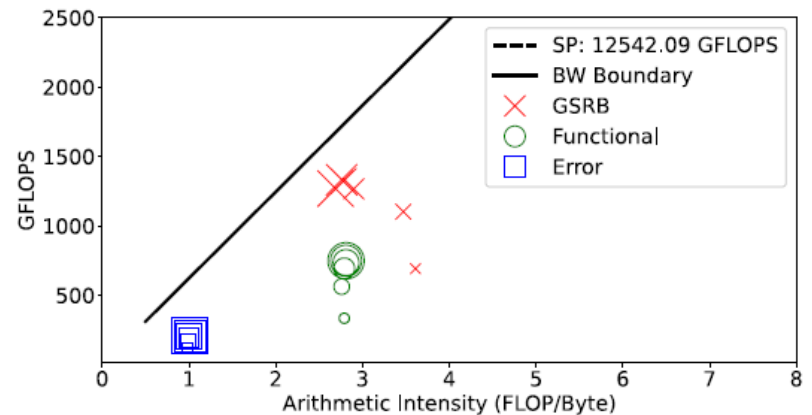
MCore, FP64



GPU, FP64



MCore, FP32



GPU, FP32

Intel Advisor

Nvidia Nsight Compute

PARALELIZACIÓN DE UN ALGORITMO DE COMPRESIÓN FRACTAL DE IMÁGENES



Hernandez-Lopez, F. J., Muñiz-Pérez, O. (2022). Parallel fractal image compression using quadtree partition with task and dynamic parallelism. *J Real-Time Image Proc.* <https://doi.org/10.1007/s11554-021-01193-w>.

SPEEDUP MULTI-CORE VS GPU

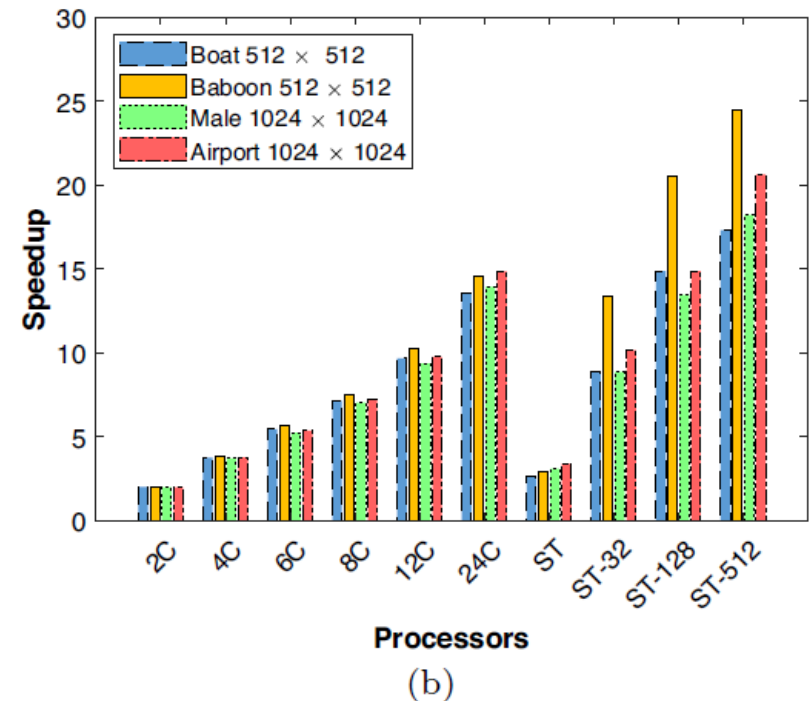
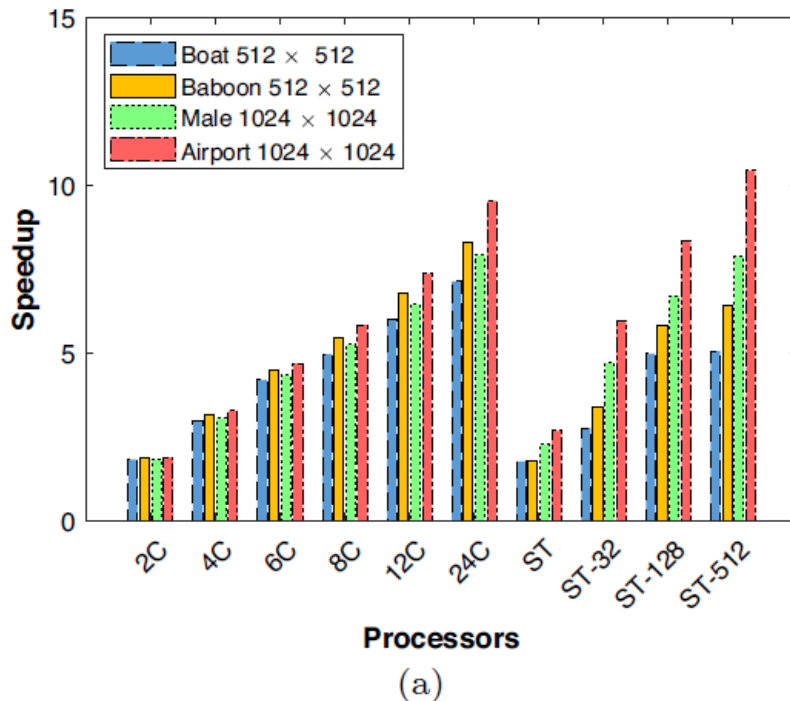


Fig. 2 Evaluation of speedups of our FICQP implementation, using the multi-core CPU (from 2C to 24C), and the GPU with streams and a different number of TPB (from 32 to 512) in the server: **a** with $tol = 20$; **b** with $tol = 5$

MESA DE ARENA CON REALIDAD AUMENTADA

Tesis de Lic. en Ciencias de la Comp. (Nov/2021)

Daniel Israel Ceballos Uc



ESTIMACIÓN DEL FLUJO VEHICULAR



Tesis de Maestría en Ing. del ITM (Ene/2019)

Rafael Puerto Valladares



RECONOCIMIENTO DE SEÑALES DE TRÁNSITO

Tesis de Maestría en Ing. del ITM

Edwin Julián González Correa

22/Ago/2019-16/Jun/2022



DETECCIÓN DE BACHES

Tesis de Maestría en Cómputo Estadístico de CIMAT-Mty

Enrique Eduardo Cortés Montes

18/Ene/2021-12/Ago/2022



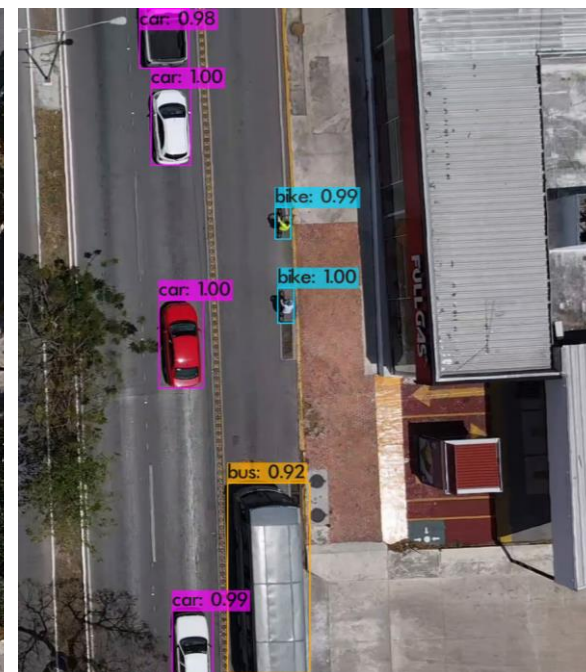
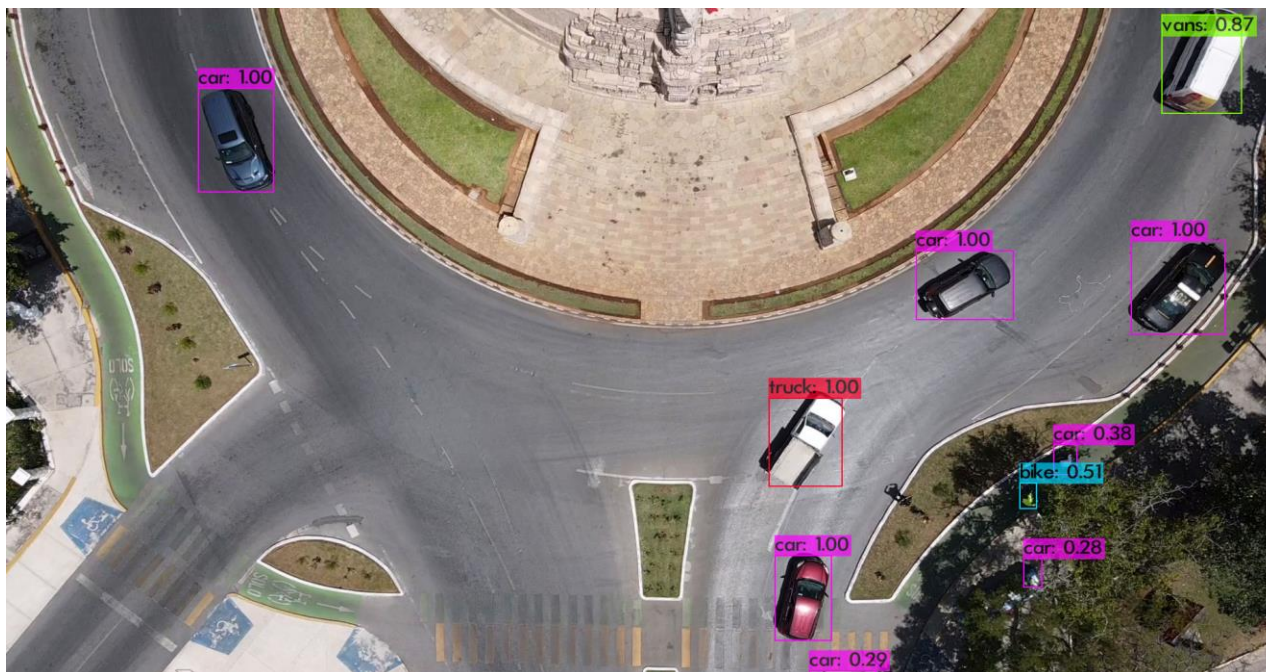
DETECCIÓN Y CLASIFICACIÓN DE VEHÍCULOS A PARTIR DE IMÁGENES AÉREAS



Tesis de Ing. en Sistemas Comp. del ITM

Ángel de Jesús Can Pech

06/Ene/2022 - Actualmente



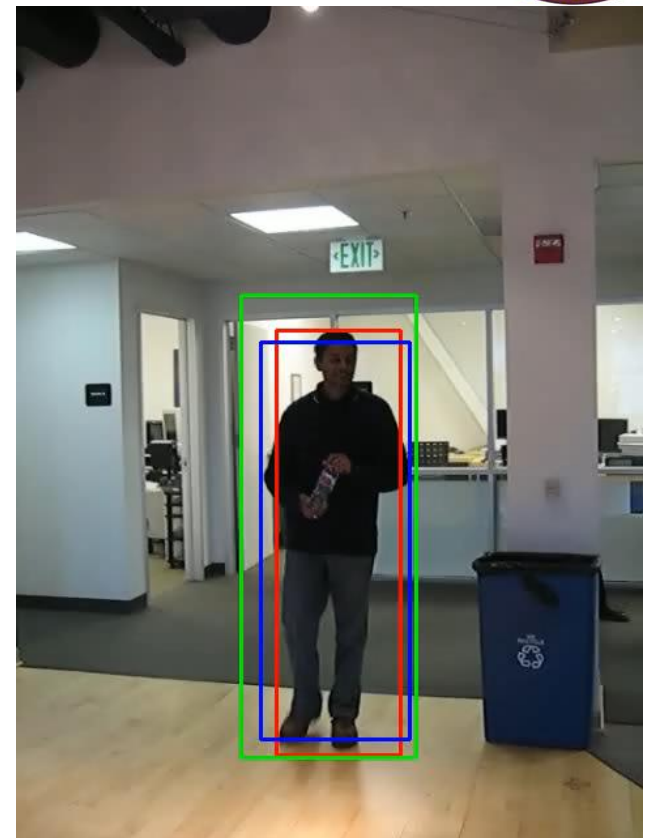
SEGUIMIENTO DE OBJETOS EN VIDEO



Tesis de Maestría en Ing. del ITM

Andrés Ely Pat chan

27/Oct/2021 - Actualmente



CONTEO AUTOMÁTICO DE VEHÍCULOS EN MOVIMIENTO

Tesis de Maestría en Cómputo Estadístico de CIMAT-Mty

José Armando Salcedo Delgado

21/Oct/2022 - Actualmente



- # Auto = 0
- # Camion = 0
- # Autobus = 0
- # Combi = 0
- # Moto = 0
- # Bici = 0
- # MotoTaxi = 0
- # Total MV = 0
- # Peaton = 0



DETECCIÓN DE ANTIESPACIOS URBANOS

Tesis de Maestría en Modelación y Optimización de Procesos
de CIMAT-Ags

Jorge Adrián Martínez López
26/Sep/2022-Actualmente



GRACIAS POR SU ATENCIÓN

Dr. Francisco J. Hernández-López

fcoj23@cimat.mx

WebPage:

www.cimat.mx/~fcoj23